

(2) 焼入焼戻しの際約  $400^{\circ}\text{C}$  にて現われる二次硬化の量は、準安定オーステナイト域における加工率と関係し、加工率が増加すると二次硬化量を増すが、ある程度以上の加工率により、かえつて明瞭に現われなくなる。

(3) 鋼の強度向上の主な原因是、オーステナイトの冷間加工による加工硬化および変態前の加工によるマルテンサイト組織の微細化にあると思われる。

### 文 献

- 1) R. F. Harvey, Iron Age. 168 (1951) Dec. 27 p. 70.
- 2) E. M. Lips, H. Van Zuiden, Metal Progr. 66 (1954) No. 2 p. 103.
- 3) D. J. Schmatz, V. F. Zackay, Trans. ASM, 51 (1959) 476.
- 4) E. B. Kula, J. M. Dhosi, Trans. ASM. 52 (1958) preprint No. 129.
- 5) M. Cohen, Metals Review, 32 (1959) No. 5 p. 5.
- 6) R. H. Harrington, Age Hardening of Metals, (ASM's Book) (1952) p. 314.

## (82) クリープ・ラプチャーテストに関する一考察

金属材料技術研究所

中川 竜一・○乙黒 靖男

### A Consideration on Creep Rupture Test.

Ryuichi Nakagawa and Yasuo Otaguro.

### I. 緒 論

近年高温材料の用途の増加に伴い、設計基準となる重要な高温性質としてのクリープ強さ、あるいはクリープ破断強さの試験方法も発達改良され、各国において規格に規定されているが、これらの性質は非常にばらつきの多いもので設計の際この点をかなり考慮する必要があると思われる。本実験では 18-8 ステンレス鋼を用い、クリープ破断強さのばらつき、あわせてクリープ破断強さにおよぼす温度の影響、試験片寸法の相違による影響などを調べたので報告する。

### II. 試料および試験片

試料は Table 1 に示した化学組成を有する  $20\text{mm} \phi$  の 18-8 ステンレス鋼を用い、ばらつきおよび寸法効果の試験では  $1100^{\circ}\text{C} \times 1\text{h}$ 、焼入温度の影響に関する試験では  $1000, 1050, 1150, 1200^{\circ}\text{C}$  の各温度で各々  $1\text{h}$  の焼入処理を行なった。試験片は一般に  $6\text{mm} \phi$ 、平行長

$30\text{mm}$  とし、寸法効果を調べるために、 $8\text{mm} \phi \times 40\text{mm}$ 、 $10\text{mm} \phi \times 50\text{mm}$  の 2 種類の試験片を使用した。試験片平行部と肩の間の曲率はいずれも  $3\text{mm}$  とした。

Table 1. Chemical composition.

C	Cr	Ni	Si	Mn	P	S	Fe
0.06	18.82	8.72	0.45	0.97	0.035	0.011	Bal.

### III. 試験機および試験方法

実験機は最大荷重  $1.5\text{ ton}$ 、最高温度  $800^{\circ}\text{C}$ 、横カン比  $1:10$  の同一ラプチャーテスト機 15 台を使用した。荷重精度は規格により  $\pm 1.5\%$  以内と規定されているが、実験に使用した試験機の荷重誤差は  $250, 500, 1000, 1500\text{kg}$  の 4 種類の検定荷重で  $0.742\%$  以内におさまっており、なおレバーの位置による差は最も差の大きい試験機の例を示すと、 $250\text{kg}$  の荷重で試験機 No. 14 の上中下のレバー位置に対し、荷重誤差は各々  $+0.614, -0.061, -0.213$  でレバー位置による誤差も充分規格内に入っている。伸び測定は試験機支柱と引張りロッドの間で行なつた。試験は  $650^{\circ}\text{C}$  で、 $10, 13\text{kg/mm}^2$  の応力で行なつた。試験温度への加熱は約 5 時間でその後の均熱を約 20 時間行なつた。温度は試験片上下に Pt-PtRh 熱電対を取り付け、ポテンショメーターで 1 日 1 回測定した。

### IV. 実験結果

#### a) 焼入温度のクリープ・ラプチャーテストにおよぶ影響

最初に  $150 \times 250 \times 500\text{mm}$  のエレマ炉で  $1100^{\circ}\text{C} \times 1\text{h}$  の焼入処理を行なつた試験片のクリープ・ラプチャーテスト時間は  $650^{\circ}\text{C}, 10\text{kg/mm}^2$  で最高  $2210\text{h }57\text{mn}$ 、最低、 $1068\text{h }20\text{mn}$ 、 $13\text{kg/mm}^2$  ではおのおの  $337\text{h}, 194\text{h}$  で非常にばらつきが大きい。従つてこれはエレマ炉の温度分布が悪いため、焼入処理温度の相違によるものではないかと考え、温度分布の良い直径  $80\text{mm}$  の管状シリコニット炉で  $1200, 1150, 1100, 1050, 1000^{\circ}\text{C}$  の各温度で  $1\text{h}$  保持後水冷した試験片について実験を行なつた。Fig. 1 に  $650^{\circ}\text{C}, 13\text{kg/mm}^2, 10\text{kg/mm}^2$  での焼入温度とクリープ・ラプチャーテスト時間と伸びの関係を示す。クリープ・ラプチャーテスト時間、伸びともに焼入温度の低い方が高く、 $1100^{\circ}\text{C}$  までは温度の上昇につれて低下し、それ以上温度を上げてもほとんど変化がない。焼入温度  $1000^{\circ}\text{C}$  では  $1100^{\circ}\text{C}$  の場合より破断時間は約 2 倍になり、焼入温度の影響はかなり著頭である。なお焼入温度による顕微鏡組織の相違を調べるため前述の焼入処理のまま、および  $170\text{h}, 1200\text{h}$  時効後の組織を観察した結果、結

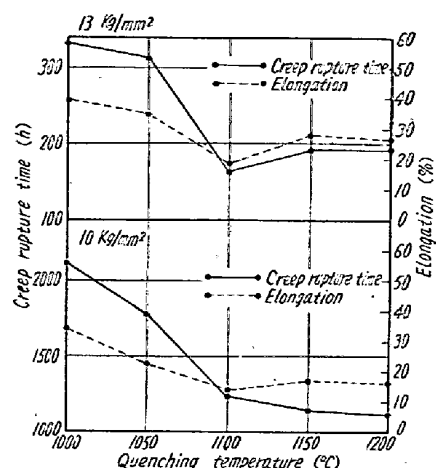


Fig. 1. Effect of quenching temperature on creep rupture time and elongation of 18-8 stainless steel at 650°C.

晶粒は焼入温度とともに増大している。したがつて試験温度も比較的低い 650°C であるので、細粒の方がクリープ強度が大きいことと、焼入温度 1100°C の場合、時効による Cr<sub>23</sub>C<sub>6</sub> 結晶出が最も多いことから Cr<sub>23</sub>C<sub>6</sub> の粒界析出が悪影響を与えるのではないかと思われる。

### b) クリープ試験のばらつき

前述の結果からクリープ試験そのもののバラツキを見るためには、焼入温度の分布を均一にすることが必要であることが分つたので焼入処理は同様に管状シリコニット炉で行なつた。試験結果を Table 2 に示す。

各試験における信頼度 95%, 99% の温度の信頼限界を求めた結果、全試験において応力 10 kg/mm<sup>2</sup> すなわち長時間試験においては、前者は 650.7~649.2°C, 後者

Table 2. Results of creep rupture tests. (10 kg/mm<sup>2</sup>)

Testing machine	1	2	3	4	5	6	7	8
Rupture time (h)	1134.87	1262.85	1130.03	1183.31	1275.28	1270.36	1316.11	1244.48
Elongation (%)	14.2	9.0	12.3	11.9	17.3	12.5	18.8	14.0
Creep rate (%/h)	$675 \times 10^{-5}$	$373 \times 10^{-5}$	$688 \times 10^{-5}$	$612 \times 10^{-5}$	$731 \times 10^{-5}$	$573 \times 10^{-5}$	$903 \times 10^{-5}$	$575 \times 10^{-5}$
Mean temperature	650.2	650.1	650.2	650.2	650.2	650.1	650.2	650.2
U <sup>2</sup> (temp.)	1.44	1.03	2.06	1.08	0.77	0.68	1.32	1.08
Testing machine	9	10	11	12	13	14	15	
Rupture time (h)	1295.31	1064.78	1345.83	1274.17	1238.91	1356.08	1237.27	
Elongation (%)	21.9	14.9	11.6	16.9	14.9	16.4	13.9	
Creep rate (%/h)	$988 \times 10^{-5}$	$627 \times 10^{-5}$	$409 \times 10^{-5}$	$825 \times 10^{-5}$	$662 \times 10^{-5}$	$664 \times 10^{-5}$	$529 \times 10^{-5}$	
Mean temperature	650.0	650.0	650.2	650.1	650.1	650.1	650.0	
U <sup>2</sup> (temp.)	1.18	1.79	1.20	1.47	1.46	1.62	1.99	

(13 kg/mm<sup>2</sup>)

Testing machine	1	2	3	4	5	6	7	8
Rupture time (h)	149.65	200.60	194.88	200.15	155.45	$143.75$ (142.11)	154.77	179.61
Elongation (%)	16.9	20.1	19.4	18.5	16.5	$19.7$ (16.3)	18.0	20.0
Creep rate (%/h)	$653 \times 10^{-4}$	$531 \times 10^{-4}$	$597 \times 10^{-4}$	$585 \times 10^{-4}$	$593 \times 10^{-4}$	$716 \times 10^{-4}$ $621 \times 10^{-4}$	$547 \times 10^{-4}$	$645 \times 10^{-4}$
Mean temperature	650.3	650.0	650.2	650.6	650.5	$650.3$ $651.5$ 0.25 (0.43)	650.6	651.1
U <sup>2</sup> (temp.)	2.14	1.47	2.07	0.58	0.57	3.35	1.27	
Testing machine	9	10	11	12	13	14	15	
Rupture time (h)	156.61	128.95	$143.11$ (200.51)	170.03	145.00	173.68	144.81	
Elongation (%)	23.0	16.0	$18.2$ (20.3)	17.9	18.5	18.8	18.7	
Creep rate (%/h)	$639 \times 10^{-4}$	$659 \times 10^{-4}$	$595 \times 10^{-4}$ $627 \times 10^{-4}$	$554 \times 10^{-4}$	$633 \times 10^{-4}$	$657 \times 10^{-4}$	$597 \times 10^{-4}$	
Mean temperature	650.7	649.8	$650.7$ (650.8)	650.7	650.1	650.6	649.3	
U <sup>2</sup> (temp.)	0.14	0.06	0.59 2.73	0.88	1.85	0.61	2.05	

は  $650 \cdot 8 \sim 649 \cdot 0^{\circ}\text{C}$ , 応力  $13\text{kg/mm}^2$  の短時間試験においては、前者は  $652 \cdot 4 \sim 647 \cdot 8^{\circ}\text{C}$ , 後者は  $653 \cdot 1 \sim 647 \cdot 0^{\circ}\text{C}$  の範囲に入つておる、短時間試験では温度のばらつきはやや大きいが規格より遙かにすぐれている。したがつて試験温度の平均値、温度のばらつきによる影響をここでは考慮に入れない。 $650^{\circ}\text{C}$ ,  $13\text{kg/mm}^2$ ,  $10\text{kg/mm}^2$  でのクリープ・ラプチャ一時間、伸び、クリープ速度の度数分布はほぼ正規分布である。クリープ・ラプチャ一時間、伸び、クリープ速度の信頼限界を求めた結果、99% の信頼度で  $10\text{kg/mm}^2$  の場合にはおのおの  $1241\text{h } 59\text{mn} \pm 61\text{h } 40\text{mn}$ ,  $14 \cdot 7 \pm 2 \cdot 5\%$ ,  $0 \cdot 00656 \pm 0 \cdot 00127\%/h$ ,  $13\text{kg/mm}^2$  の場合にはおのおの  $163\text{h } 45\text{mn} \pm 16\text{h } 47\text{mn}$ ,  $18 \cdot 6 \pm 1 \cdot 2\%$ ,  $0 \cdot 0615 \pm 0 \cdot 0032\%/h$  となる。信頼限界の範囲の平均値に対する割合は、クリープ・ラプチャ一時間は  $10\text{kg/mm}^2$  で  $\pm 5 \cdot 0\%$ ,  $13\text{kg/mm}^2$  で  $\pm 10 \cdot 2\%$ , 伸びは  $\pm 17 \cdot 0\%$ ,  $\pm 6 \cdot 7\%$  クリープ速度は  $\pm 19 \cdot 4\%$ ,  $\pm 5 \cdot 2\%$  である、破断時間は長時間試験の方がその割合は小さいが、伸びとクリープ速度は短時間試験の方が小さい。

### c) クリープ・ラプチャ一時間、伸び、クリープ速度の相関関係

前述の実験結果から各応力でのクリープ・ラプチャ一時間、伸び、クリープ速度の相関係数を求めた結果を Table 3 に示す。

Table 3. Correlation between creep rupture time, elongation and creep rate.

	$10\text{kg/mm}^2$			$13\text{kg/mm}^2$		
	$r$	$t_0$	$t(13, 0 \cdot 05)$	$r$	$t_0$	$t(15, 0 \cdot 05)$
$x, y$	0.2165	0.7996	2.16	0.4540	1.7583	2.13
$y, z$	0.7788	4.4763	2.16	0.0572	0.2226	2.13
$x, z$	0.0679	0.2452	2.16	-0.2418	0.9652	2.13

Table 4. Size effect of specimens on creep properties ( $10\text{kg/kg}^2$ )

	$6\text{mm}\phi(N=15)$		$8\text{mm}\phi(N=3)$		$10\text{mm}\phi(N=4)$	
	Mean	$U^2$	Mean	$U^2$	Mean	$U^2$
Creep rupture time (h)	1241.98	6422.0341	1285.98	2332.9899	1400.26	32057.8705
Elongation (%)	14.7	10.37	14.4	14.23	22.0	7.44
Creep rate (%/h)	$656 \times 10^{-5}$	$27168 \times 10^{-10}$	$715 \times 10^{-5}$	$23235 \times 10^{-10}$	$1012 \times 10^{-5}$	$42793 \times 10^{-10}$

$13\text{kg/mm}^2$

	$6\text{mm}\phi(N=17)$		$8\text{mm}\phi(N=3)$		$10\text{mm}\phi(N=5)$	
	Mean	$U^2$	Mean	$U^2$	Mean	$U^2$
Creep rupture time (h)	163.75	563.2468	154.71	332.5177	270.98	4424.3840
Elongation (%)	18.6	3.05	18.6	3.46	34.9	228.30
Creep rate (%/h)	$615 \times 10^{-4}$	$2047 \times 10^{-8}$	$594 \times 10^{-4}$	$722 \times 10^{-8}$	$686 \times 10^{-4}$	$8060 \times 10^{-8}$

る。これは試験片数の少いためと思われる。8mm  $\phi$  の試験片ではいずれの場合も分散は同一と見做せるので6mm  $\phi$  の結果との共通の分散を求め、平均値の差の検定を行なつた結果、いずれの場合も両試験片間の差は認められない。

#### IV. 結論

- i) 焼入温度は低い程、クリープラブチャーフィード、伸びとともに大きいが、1100°C以上ではほとんど変化がない。
- ii) 18-8ステンレス鋼の650°C 13kg/mm<sup>2</sup>, 10kg/mm<sup>2</sup>における、クリープ・ラブチャーフィード時間は99%の信頼度で、信頼限界の範囲の平均値に対する割合は前者で±5.0%，後者で±10.2%である。
- iii) クリープ・ラブチャーフィード時間、伸び、クリープ速度間の相関は10kg/mm<sup>2</sup>での伸びとクリープ速度の場合を除き、認められない。
- iv) 6mm  $\phi$  と8mm  $\phi$  の試験片については寸法効果は認められない。

### (83) 1 Cr-1/2 Mo ボイラー用鋼管材に関する研究

神戸製鋼所神戸研究所

平野 垣・山本俊二・○日浦 保  
小林 弘・増田辰男

Study on 1 Cr-1/2 Mo Steel for Boiler Steel Tubes.

Hiroshi Hirano, Shunji Yamamoto,  
Tamotsu Hiura, Hiroshi Kobayashi  
and Tatsuo Masuda.

Table 1. Chemical composition of specimens tested.

Steel	C	Si	Mn	P	S	Cr	Mo	$\Sigma Al$
CH 2 (Z1284)	0.12	0.40	0.44	0.012	0.014	1.08	0.53	0.015
DL 2 (Z1282)	0.06	0.36	0.44	0.011	0.018	1.10	0.53	0.020
STB 42D	<0.15	0.10~0.50	0.30~0.60	<0.030	<0.030	0.80~1.20	0.45~0.65	—

Table 2. Structure and hardness changes after heat treatments.

Heat treatments	Structure and micro hardness (Hv)				Macro-hardness
920°C 65°C/h 820°C W	F + B	F = 216	B = 423~493		323~341
" 780	"	F = 210	B = 500~566		245
" 760	"	F = 185~202	B = 509~584		228
" 740	F + B + M	F = 183~189	B = 594	M = 706~929	221~321
" 720	F + M	F = 225~232	B = 766~929		193~203
" 700	F + M + P	F = 210~221	M = 795~909	P = 257	177~187
" 680	F + P	F = 175~181	P = 268~286		150~153
" 660	F + P	F = 183~195	P = 251~293		150~152

F=Ferrite, P=Pearlite, B=Bainite, M=Martensite.

#### I. 緒言

高温高圧用鋼管材としての1Cr-1/2Mo鋼は、船用または陸用ボイラーの過熱器管および主蒸気管として広く使用されており2<sup>1</sup>/<sub>4</sub>Cr-1Mo鋼管材に比し550°C以下の温度では、クリープ強度が悪く550~600°Cの温度範囲では、両者のクリープ強度はほとんど変わらないといわれているが<sup>1)</sup>、長時間使用する場合には安定性の点から2<sup>1</sup>/<sub>4</sub>Cr-1Mo鋼の方が秀れていると考えられる。

1Cr-1/2Mo鋼は使用目的から考えてクリープ強度の秀れていることはもちろんのこと常温における曲管拡管などの冷間加工性の秀れていることもまた施工上必要である。2<sup>1</sup>/<sub>4</sub>Cr-1Mo鋼については、前報<sup>2)</sup>において熱処理によりいちじるしくクリープ強度を改善しうることについて述べたが、本報においては1Cr-1/2Mo鋼管材に対し適切なクリープ強度と常温機械的性質を与えるための熱処理方法につき検討した結果について報告する。

#### II. 供試材

供試材としてTable 1記載のごとき成分を有する2chargeを熔製したが熔解に際してはクリープ強度の向上を目標としてAl使用量を100g/tに抑制し粒の粗大化につとめた。表中CHおよびDLは、C量を規格の上限および下限にとりクリープ強度におよぼすC量の影響をも調査することとした。両chargeとも80kg鋼塊に铸造後25mm  $\phi$  に鍛伸し供試材とした。

#### III. 热処理による組織の変化

CH材を供試材として920°Cでオーステナイト化を行なつた後連続冷却式光輝焼鈍炉の性能を考慮に入れて65°C/hの冷却速度で冷却を行ない820~660°Cの各温度より水冷して組織の変化を調査した。Table 2に熱